

Textury a šumové funkce

© 1998-2016 Josef Pelikán
CGG MFF UK Praha

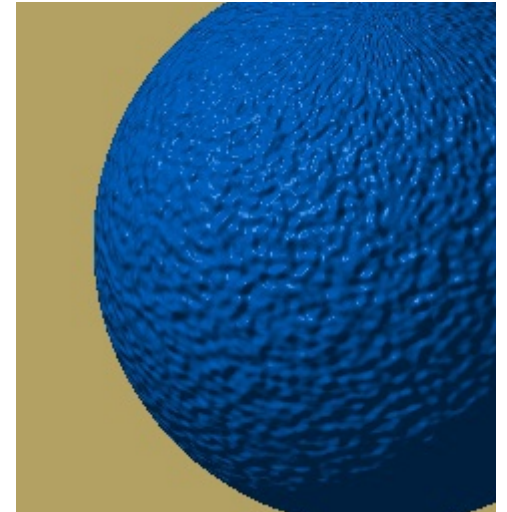
pepca@cgg.mff.cuni.cz

<http://cgg.mff.cuni.cz/~pepca/>

Účinek textury

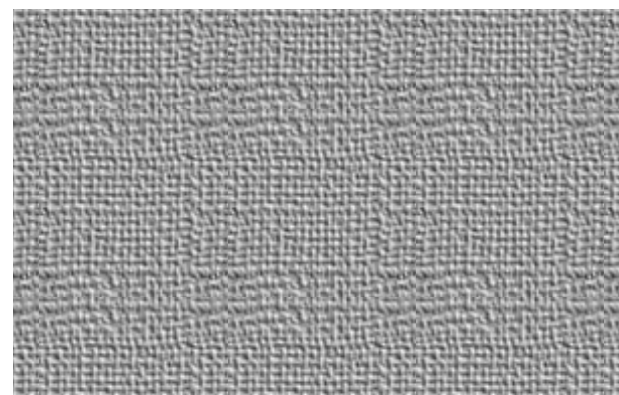
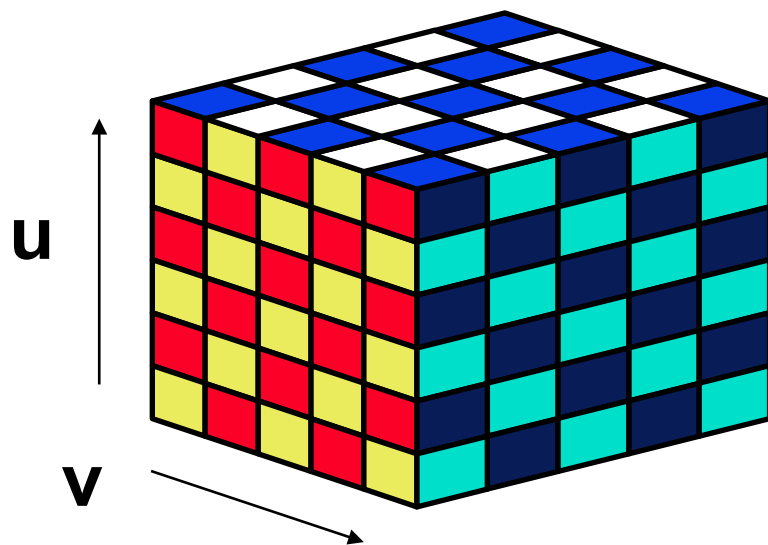


- ♦ modulace **barvy** na povrchu předmětů
- ♦ změna parametrů **světelného modelu**
 - např. odrazivost (k_D a k_S), ...
- ♦ modifikace **normálového vektoru**
 - „bump-texture”
 - nahrazení složité (mikro)geometrie
- ➔ napodobení komplikovaných přírodních jevů
 - náhodné textury (užití syntézy šumu)
 - fraktální textury (deterministické i stochastické)





2D textura



- ◆ pokrývá **povrch** tělesa (jako tapeta)
- ➔ **mapování textury**: $[x,y,z] \rightarrow [u,v]$
– inverzní mapovací funkce
- ➔ **vlastní textura**: $[u,v] \rightarrow \text{barva}$ (normála, ..)



3D textura

- ◆ zachycuje změny veličin **uvnitř tělesa**
- ◆ napodobuje **vnitřní strukturu materiálu** (dřevo, mramor, ...)
- ➔ není třeba počítat **inverzní mapování**
- ➔ **3D textura: $[x,y,z] \rightarrow$ barva** (odrazivost, atd.)
- ▲ pro napodobení přírodních jevů se využívají tzv. **šumové funkce**
 - pseudonáhodné spojité „vrásnění“

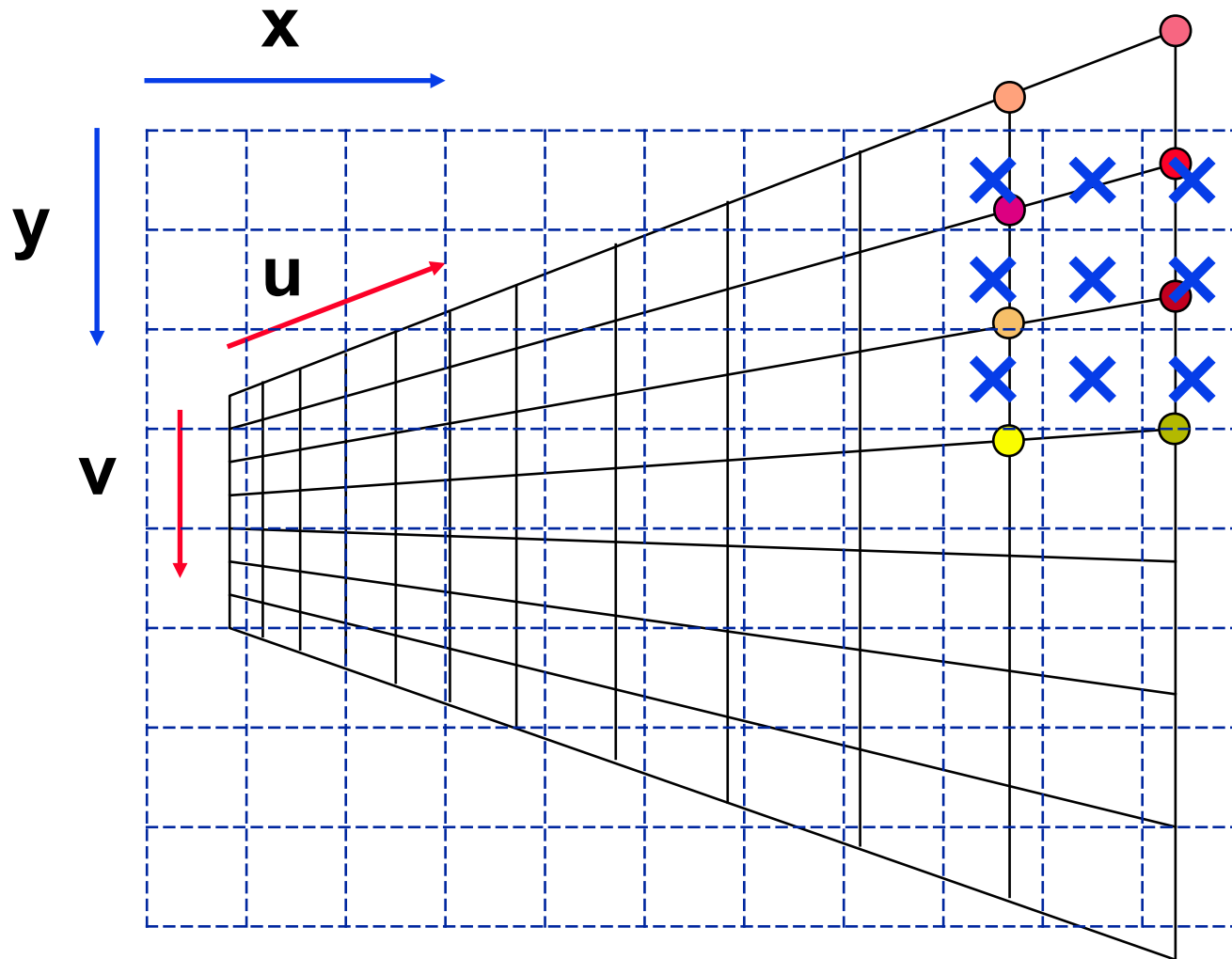




Implementace textury

- ◆ předem připravené **pole dat** (tabulka, bitmapa)
 - především u 2D textur
 - skutečná (přírodní) data, obrázky, etikety
 - pro větší kvalitu (spojitost) - různé typy interpolace
- ◆ textury definované **algoritmem** (předpisem)
 - jednoduché geometrické tvary
 - fraktály, stochastické funkce (šum, turbulence)
- ◆ **smíšené metody** (předem spočítaná tabulka)
 - náročné modelovací metody (reakční difuze, ..)

Textura definovaná tabulkou

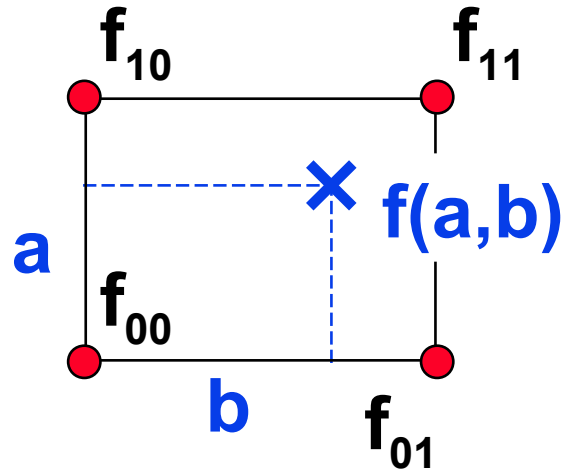




Typy interpolace

- **bez interpolace** (zaokrouhlení)
 - nejjednodušší a nejrychlejší metoda
 - pokud se rozlišení obrázku blíží rozlišení textury, vznikají výrazné a nepříjemné artefakty (Doom)
- **bilineární** interpolace
 - zajišťuje **spojitost** obrazové funkce (C^0)
- **polynomiální** interpolace (např. spline funkce)
 - spojitost **vyšších řádů** (u bikubické až C^2)
 - výpočetně náročná (kombinace 9-16 hodnot ve 2D)

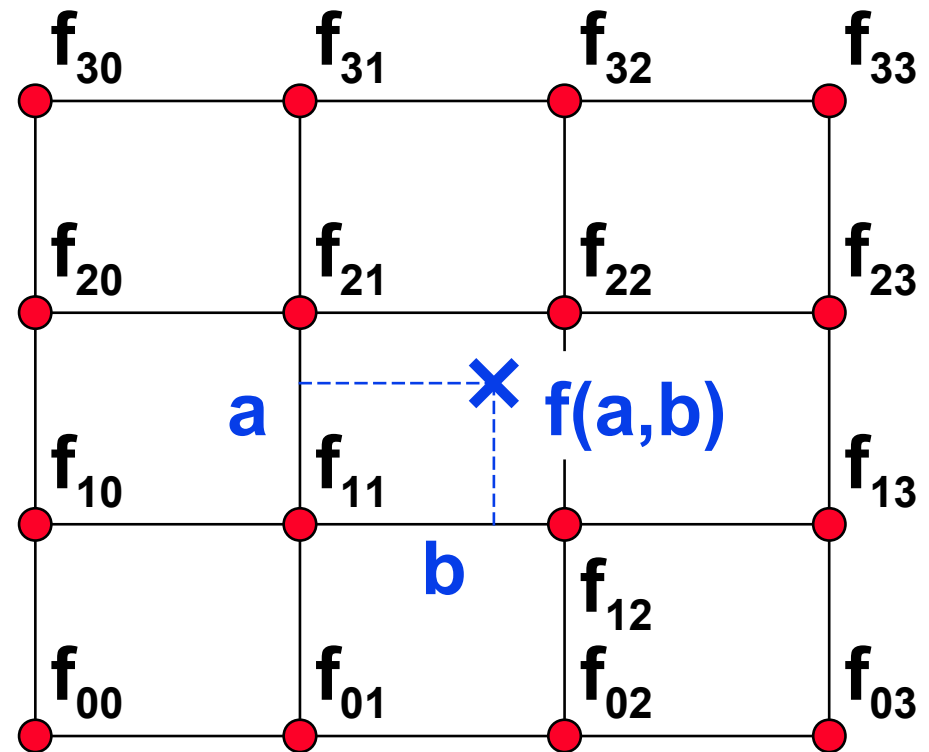
Bilineární a bikubická interpolace



$$f(a, b) = a \cdot [b \cdot f_{11} + (1 - b) \cdot f_{10}] + (1 - a) \cdot [b \cdot f_{01} + (1 - b) \cdot f_{00}]$$

$$f(a, b) = \sum_{i,j=0}^3 C_i(a) C_j(b) f_{ij}$$

$C_i(t)$.. kubické polynomy





Kubická B-spline interpolace

$$f(\mathbf{a}, \mathbf{b}) = \sum_{i=0}^3 \sum_{j=0}^3 C_i(\mathbf{a}) C_j(\mathbf{b}) f_{ij}$$

B-spline
váhové funkce:

$$\sum_{i=0}^3 C_i(\mathbf{t}) = 1$$

$$0 \leq C_i(\mathbf{t}) \leq 1 \quad \text{pro} \quad 0 \leq t \leq 1$$

$$C_0(\mathbf{t}) = \frac{1}{6}(1-t)^3$$

$$C_1(\mathbf{t}) = \frac{1}{6}(3t^3 - 6t^2 + 4)$$

$$C_2(\mathbf{t}) = \frac{1}{6}(-3t^3 + 3t^2 + 3t + 1)$$

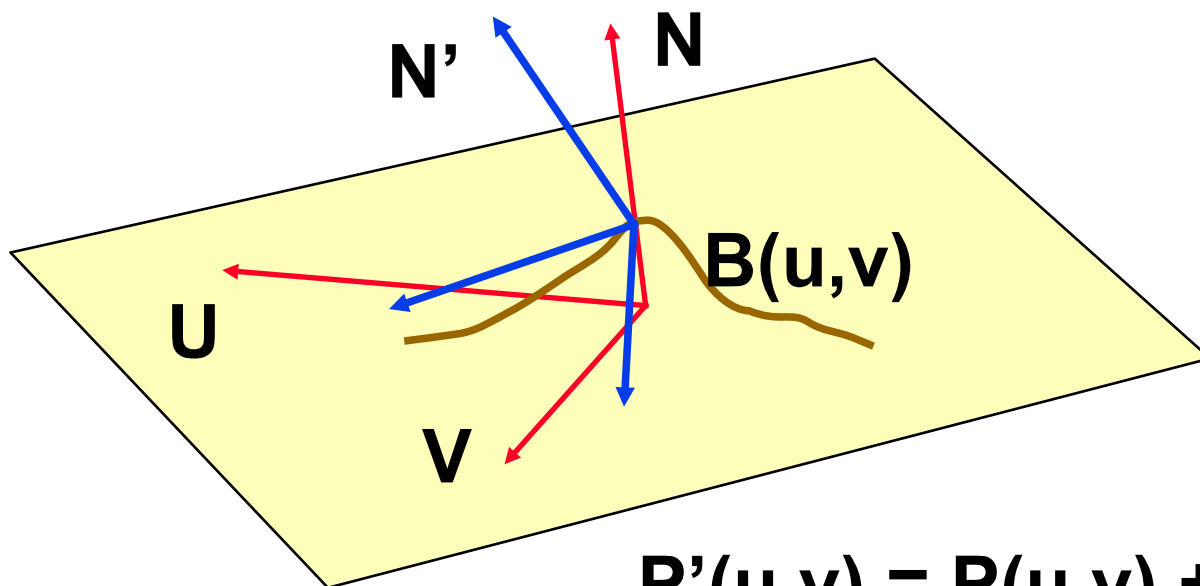
$$C_3(\mathbf{t}) = \frac{1}{6}t^3$$

Algoritmické a smíšené textury



- jednoduché **geometrické tvary**, vzorky
 - šachovnice, pravidelné pruhy, ..
- napodobení **přírodních tvarů**
 - často se využívají **pseudonáhodné algoritmy** (syntéza spojité šumové funkce)
 - fraktály, turbulence (mraky, špína, ..)
 - reakční difuze (napodobení kůže a srsti zvířat)
 - prostorové náhodné textury (dřevo, mramor, ..)

Modulace normály („bump map“)

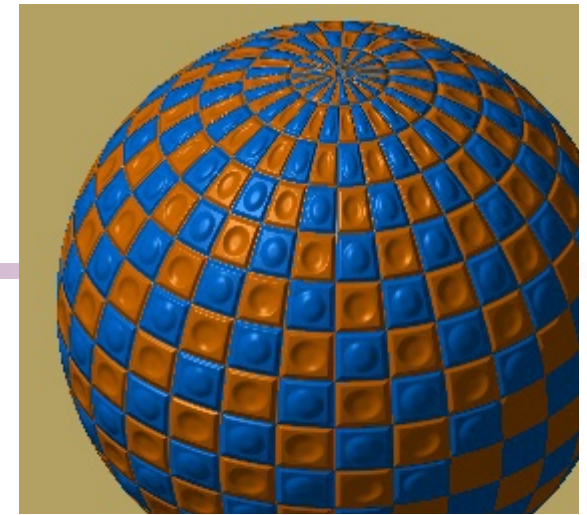


$$\underline{N} = U \times V$$

$$\underline{P'(u,v) = P(u,v) + B(u,v) \cdot N / |N|}$$

- napodobení **nerovností** na povrchu tělesa
- **B(u,v)** je funkce lokálního posunutí povrchu:
+ ven z tělesa, – dovnitř tělesa

Modulace normály



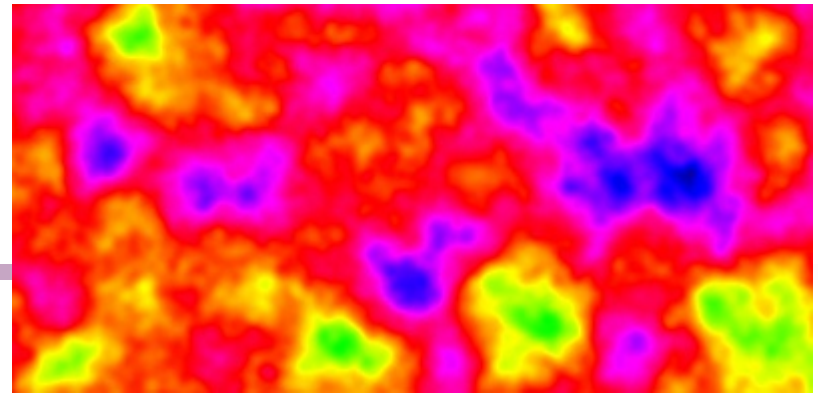
Původní normála: $\mathbf{N} = \mathbf{U} \times \mathbf{V}$

posunutý bod: $\mathbf{P}'(\mathbf{u}, \mathbf{v}) = \mathbf{P}(\mathbf{u}, \mathbf{v}) + \frac{\mathbf{B}(\mathbf{u}, \mathbf{v}) \cdot \mathbf{N}}{|\mathbf{N}|}$

aproximace **modifikované normály**:

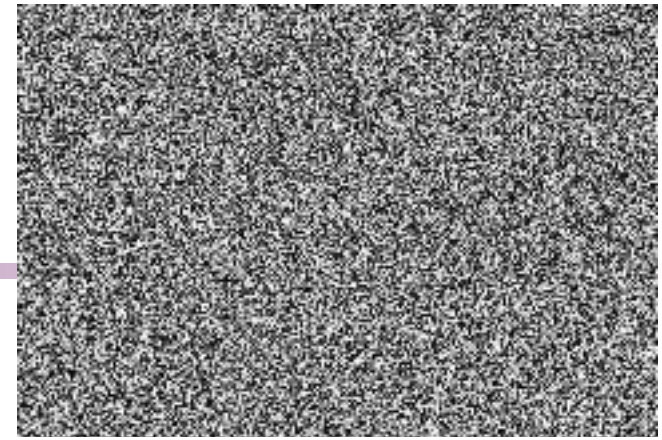
$$\mathbf{N}' = \mathbf{N} + \frac{\frac{\partial \mathbf{B}}{\partial \mathbf{u}}(\mathbf{u}, \mathbf{v}) \cdot (\mathbf{N} \times \mathbf{V}) - \frac{\partial \mathbf{B}}{\partial \mathbf{v}}(\mathbf{u}, \mathbf{v}) \cdot (\mathbf{N} \times \mathbf{U})}{|\mathbf{N}|}$$

Syntéza šumu



- cílem je **subjektivně nahodilý** vzhled (tvar)
 - napodobení komplikovaných přírodních jevů
 - výsledek působení chaotického systému, náhodné difuze, systému s částečnou zpětnou vazbou, ..
- výpočet hodnoty šumové funkce v konkrétním bodě musí být **deterministický** (opakovatelný)
 - paralelní implementace, opakovaný dotaz
- požadovaná **spektrální charakteristika** šumu
 - nekorelovaný/bílý šum, spojitý šum

Bílý šum



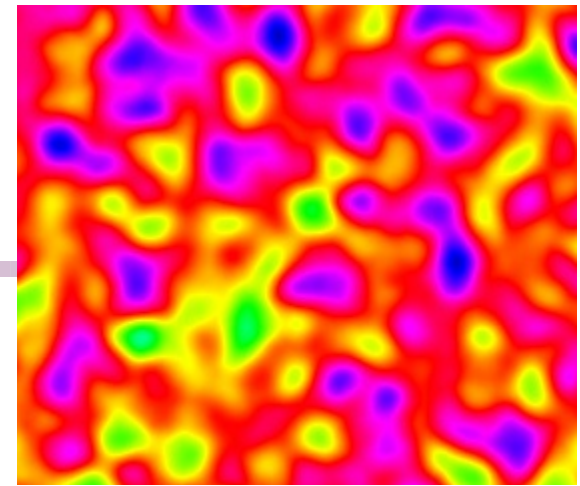
- ◆ šum s **neomezeným spektrem**
 - hodnoty v různých bodech mají nulovou korelaci
- ➔ příklad implementace 2D bílého šumu:

```
double RandomTab[RANDOMTABLEN];           // random values
int Indx[ILEN], Indy[ILEN];                // random permutations

double white_noise_2D ( double x, double y )
{ int i = HASH( Indx[LOWBITS(x)], Indy[LOWBITS(y)] );
  return( RandomTab[ i % RANDOMTABLEN ] );
}
```

využívá **k** bitů mantisy **LOWBITS**, hashovací funkci **HASH**
RandomTab, **Indx**, **Indy** jsou předem spočítané tabulky

Spojité šum



- ◆ **spojitá funkce** s omezeným spektrem
 - stacionární, izotropní (invarian. na posunutí, otočení)
 - krátká perioda funkce může být na závadu
- ➔ **Fourierovská syntéza**
 - přesně mohu ovlivňovat frekvenční charakteristiku
- ➔ **interpolace** náhodných hodnot v mřížce
 - klasická interpolace (např. pomocí B-spline funkcí)
 - Hermitovská interpolace - gradienty (Perlin)
 - stochastická mřížka - řídká konvoluce (Lewis)



Interpolace v pravidelné mřížce

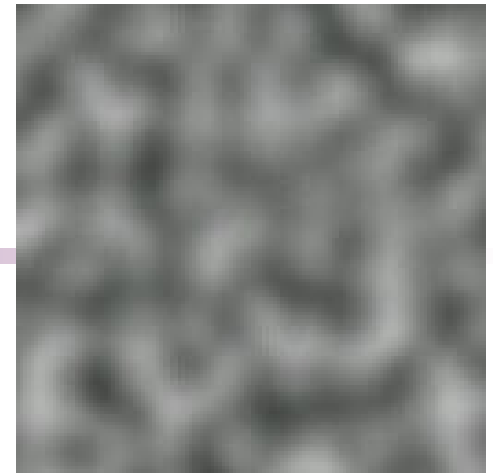
- 1 předem vygeneruji **síť pseudonáhodných čísel** (vektorů, směrníc, ..)
 - požadované rozdělení pravděpodobnosti
 - 1D, 2D nebo 3D topologie
 - ve vícerozměrných případech mohu ušetřit paměť pomocí hašovací funkce **HASH (x, y, z)** - viz výše
- 2 **interpolace** v neuzlových bodech
 - separabilní metody (složky počítám postupně)
 - nejčastěji kvadratické nebo kubické polynomy
 - **2D**: 4 až 16 uzlů, **3D**: 8 až 64 uzlů



Metoda Kena Perlina (3D šum)

- ◆ spektrum je omezené na jednu oktávu ($f \div 2f$)
- ◆ efektivní implementace
- ① předem vygeneruji **síť pseudonáhodných gradientních vektorů** $[a,b,c,d]_{ijk}$
 - $[a,b,c]_{ijk}$ je pseudonáhodný **jednotkový směr** (vybírám a normalizuji pouze náhodné vektory kratší než 1)
 - d_{ijk} je hodnota funkce v uzlovém bodě $[x_i, y_j, z_k]$
 - přepočítám $d'_{ijk} = d_{ijk} - a_{ijk} \cdot x_i - b_{ijk} \cdot y_j - c_{ijk} \cdot z_k$

Metoda Kena Perlina



② hodnoty v **uzlech**:

$$K_{ijk}(\mathbf{x}, \mathbf{y}, \mathbf{z}) = d'_{ijk} + \mathbf{a}_{ijk} \cdot \mathbf{x} + \mathbf{b}_{ijk} \cdot \mathbf{y} + \mathbf{c}_{ijk} \cdot \mathbf{z}$$

③ **interpolační** kubické spline polynomy:

$$w(t) = 2|t|^3 - 3t^2 + 1 \quad \text{pro } |t| < 1$$

$$w(t) = 0 \quad \text{jinde}$$

– nosič má poloměr 1 \Rightarrow potřebuji pouze 2^D uzlů

$$\mathbf{a}(\mathbf{x}, \mathbf{y}, \mathbf{z}) = \sum_{i=\lfloor \mathbf{x} \rfloor}^{\lfloor \mathbf{x} \rfloor + 1} w(\mathbf{x} - \mathbf{i}) \sum_{j=\lfloor \mathbf{y} \rfloor}^{\lfloor \mathbf{y} \rfloor + 1} w(\mathbf{y} - \mathbf{j}) \sum_{k=\lfloor \mathbf{z} \rfloor}^{\lfloor \mathbf{z} \rfloor + 1} w(\mathbf{z} - \mathbf{k}) \cdot \mathbf{a}_{ijk}$$



Metoda řídké konvoluce (Lewis)

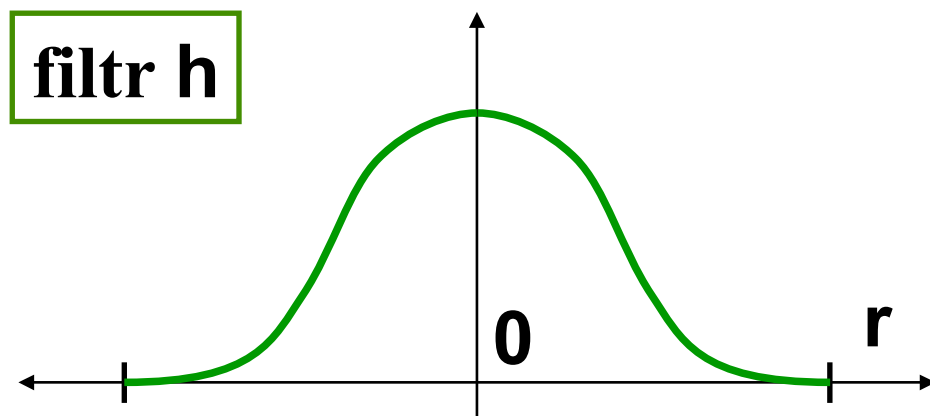
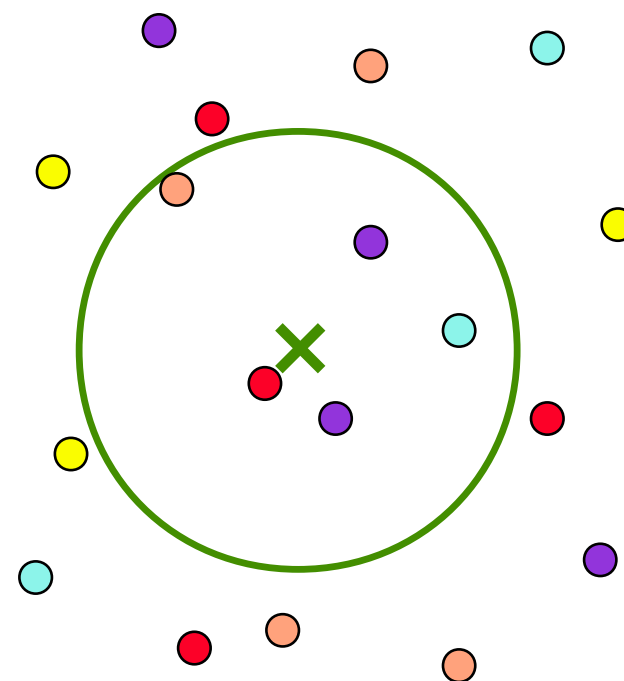
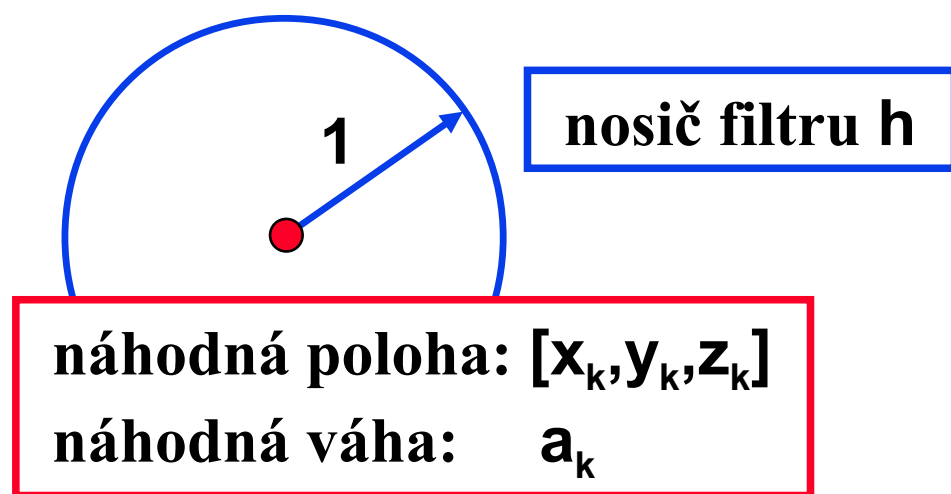
- ◆ možnost řízení spektrální charakteristiky
- ◆ efektivní implementace
- ➔ **konvoluce 3D filtru $h(\mathbf{x}, \mathbf{y}, \mathbf{z})$ s Poissonovým šumem γ :**

$$\eta(\mathbf{x}, \mathbf{y}, \mathbf{z}) = \int_{\mathbb{R}^3} \gamma(\mathbf{u}, \mathbf{v}, \mathbf{w}) \cdot \underline{h(\mathbf{x} - \mathbf{u}, \mathbf{y} - \mathbf{v}, \mathbf{z} - \mathbf{w})} \, d\mathbf{u} \, d\mathbf{v} \, d\mathbf{w}$$

$$\gamma(\mathbf{x}, \mathbf{y}, \mathbf{z}) = \sum_{\mathbf{k}} \underline{\mathbf{a}_{\mathbf{k}}} \cdot \delta(\mathbf{x} - \underline{\mathbf{x}_{\mathbf{k}}}, \mathbf{y} - \underline{\mathbf{y}_{\mathbf{k}}}, \mathbf{z} - \underline{\mathbf{z}_{\mathbf{k}}})$$



Konvoluce Poissonova šumu





Metoda řídké konvoluce

Díky diskrétnímu charakteru Poissonova šumu:

$$\eta(\mathbf{x}, \mathbf{y}, \mathbf{z}) = \sum_{\mathbf{k}} \underline{a_{\mathbf{k}}} \cdot \underline{h(\mathbf{x} - \underline{\mathbf{x}_{\mathbf{k}}}, \mathbf{y} - \underline{\mathbf{y}_{\mathbf{k}}}, \mathbf{z} - \underline{\mathbf{z}_{\mathbf{k}}})}$$

- **hustotou impulsů $[\mathbf{x}_{\mathbf{k}}, \mathbf{y}_{\mathbf{k}}, \mathbf{z}_{\mathbf{k}}]$** mohu řídit kvalitu šumu
 - při **10** a více impulsech na plochu filtru **h** je kvalita téměř nerozeznatelná od interpolačního šumu
 - při stejné kvalitě je řídká konvoluce efektivnější



Efektivní implementace

- prostor rozdělím na krychlové **buňky** se stranou délky **r** (poloměr filtru **h** - obvykle **1**)
- v každé buňce generuji impulsy **nezávisle** pomocí **pseudonáhodného generátoru** s počáteční hodnotou semínka **Seed_{ijk}**
 - hodnoty **Seed_{ijk}** nageneruji předem nějakým jiným (nezávislým) generátorem
 - nebo mohu pro úsporu paměti (a proti opakování vzorku) použít hašovací funkci **HASH(x, y, z)**



Efektivní implementace

- při výpočtu hodnoty **Noise(x,y,z)** stačí projít pouze **několik sousedních buněk**
 - v 2D případě je to **4 ÷ 9** buněk
 - v 3D případě je to **8 ÷ 27** buněk
- pro **izotropní šum** (symetrický filtr **h**) mohu předem spočítat hodnoty **h(r²)** do tabulky
 - při výpočtu konvoluce nemusím odmocňovat



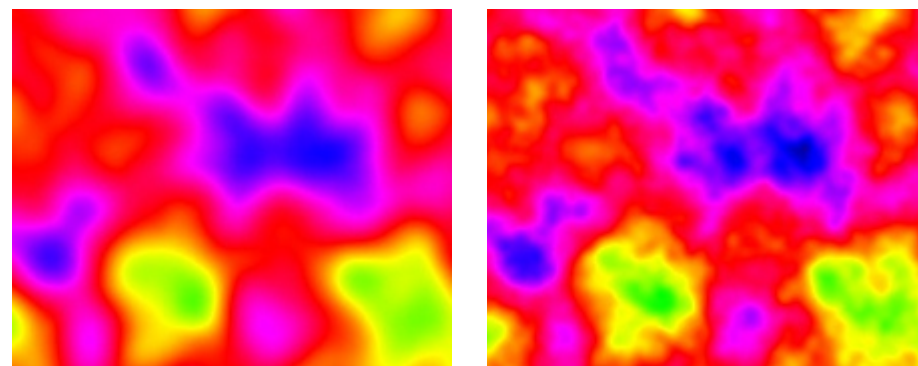
Kombinace šumových funkcí

- složení několika frekvencí \mathbf{f}_i s amplitudami \mathbf{a}_i posunutých o vektory $[\mathbf{x}_i, \mathbf{y}_i, \mathbf{z}_i]$:

$$\sum_i \mathbf{a}_i \cdot \text{Noise} \left[\mathbf{f}_i \cdot (\mathbf{x} + \mathbf{x}_i), \mathbf{f}_i \cdot (\mathbf{y} + \mathbf{y}_i), \mathbf{f}_i \cdot (\mathbf{z} + \mathbf{z}_i) \right]$$

- napodobení **turbulence**:

$$\mathbf{f}_i = \mathbf{F}^i, \mathbf{a}_i = \mathbf{A}^{-i}$$

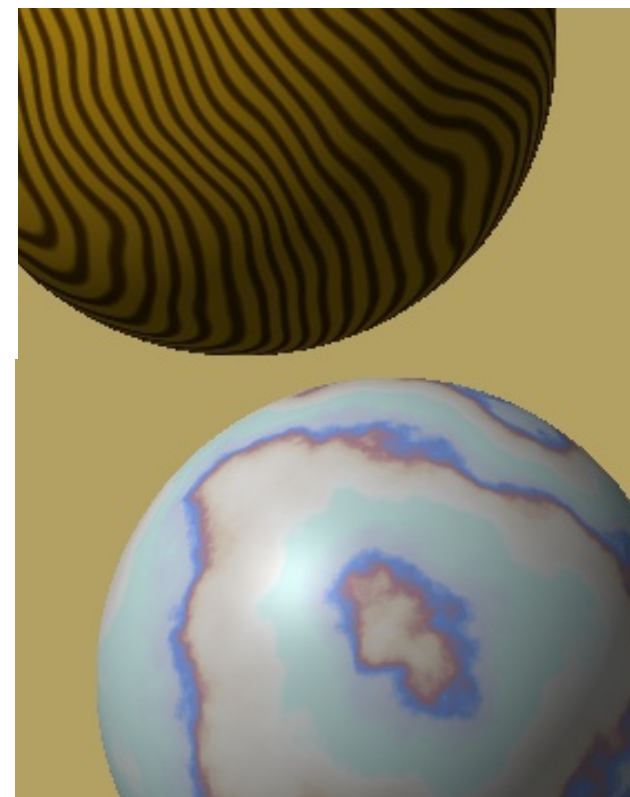


$$\sum_i \frac{1}{\mathbf{A}^i} \cdot \text{Noise} \left[\mathbf{F}^i \cdot (\mathbf{x} + \mathbf{x}_i), \mathbf{F}^i \cdot (\mathbf{y} + \mathbf{y}_i), \mathbf{F}^i \cdot (\mathbf{z} + \mathbf{z}_i) \right]$$

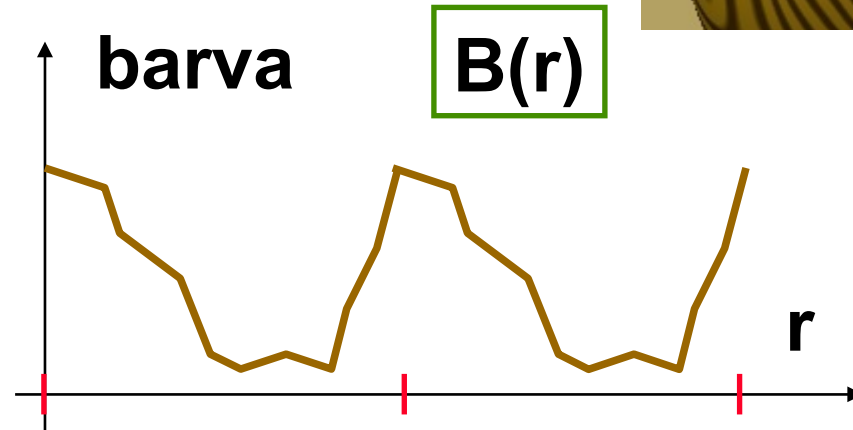
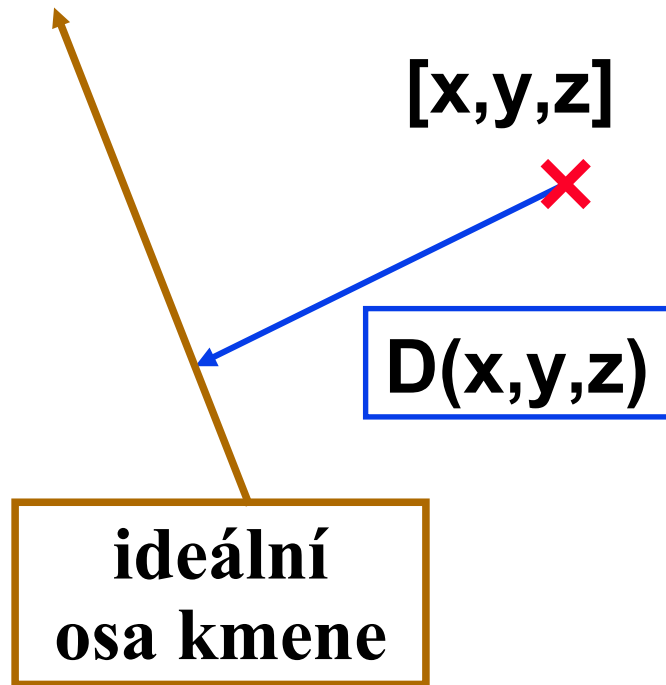
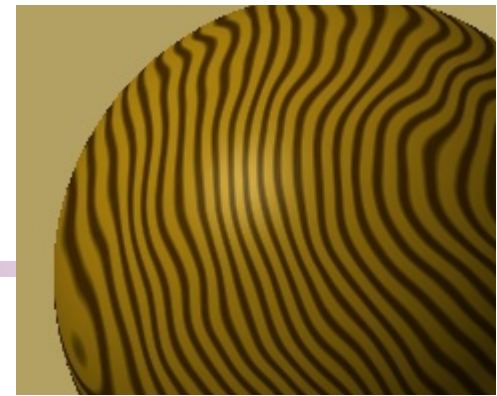


Aplikace šumových funkcí

- ➔ náhodné **modifikace normály** („bump map”)
 - iluze nepravidelně zvrásněného povrchu těles
 - „pomerančová kůra”
- ➔ **turbulence**
 - mlha, mraky, použití v modelování
- ➔ **3D texture**
 - vnitřní struktura materiálu
 - dřevo, mramor, ..



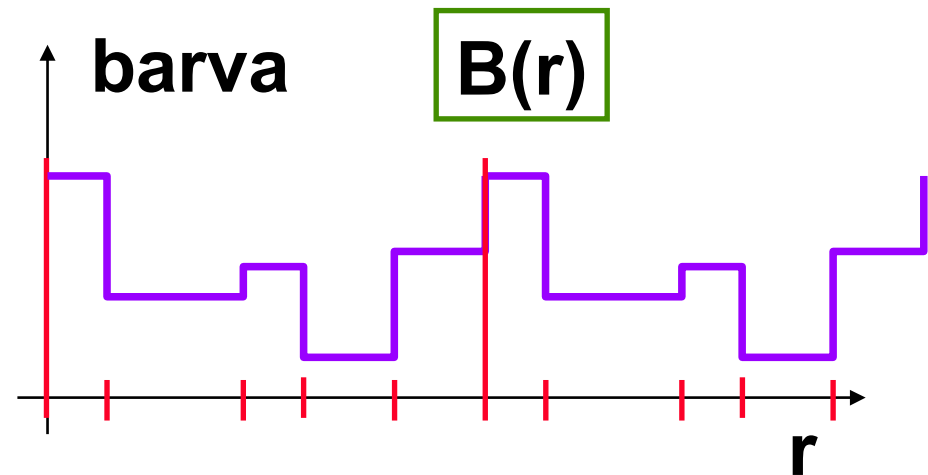
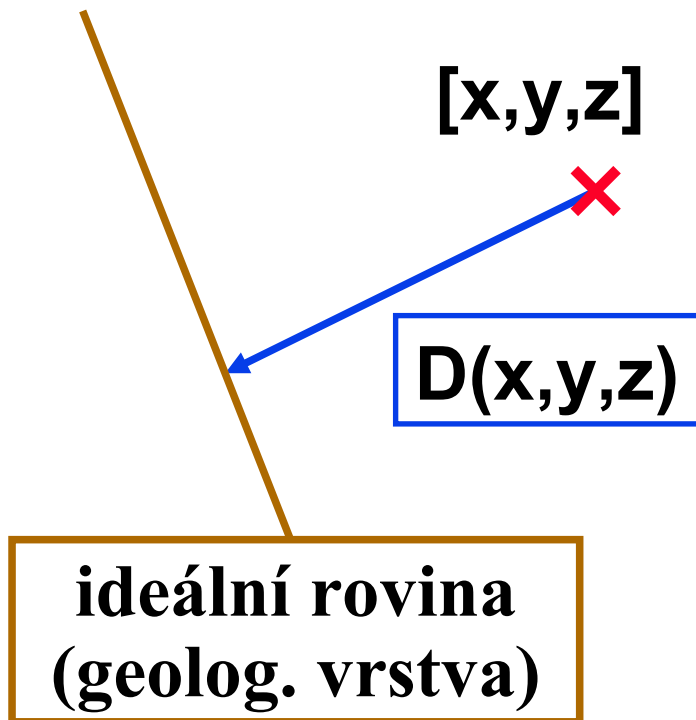
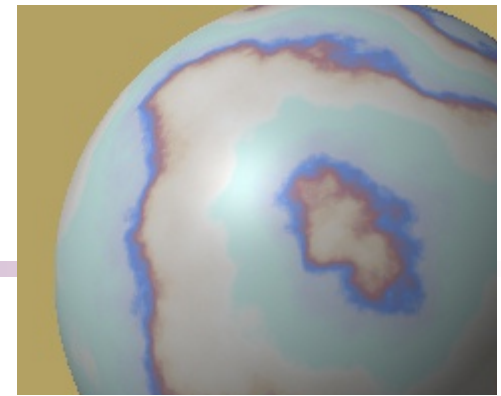
Simulace struktury dřeva



$$\underline{B[D(x, y, z) + \text{Noise}(x, y, z)]}$$

$$\underline{B[D(x, y, z) \cdot (1 + \text{Noise}_1(x, y, z)) + \text{Noise}_2(x, y, z)]}$$

Simulace struktury mramoru



$$\underline{B[D(x,y,z) + \text{Turb}(x,y,z)]}$$



Literatura

- **K. Perlin: *An Image Synthesizer***, Computer Graphics, Vol. 19, #3, July 1985, 287-296
- **K. Perlin, E. M. Hoffert: *Hypertexture***, Computer Graphics, Vol. 23, #3, July 1989, 253-262
- **J. P. Lewis: *Algorithms for Solid Noise Synthesis***, Computer Graphics, Vol. 23, #3, July 1989, 263-270
- **J. Foley, A. van Dam, S. Feiner, J. Hughes: *Computer Graphics, Principles and Practice***, 741-745, 1015-1018, 1043-1047